

# Informatique Quantique

Frédéric Magniez

## Cours 5 : Limitations du calcul classique et quantique

### Motivations

2

#### Montrer qu'un algorithme est optimal

- Résultats connus
  - P-TIME  $\neq$  EXP-TIME
  - LINEAR-TIME  $\neq$  QUADRATIC-TIME
- Plus difficile, mais faisable
  - Trouver un problème dans EXP-TIME, mais pas dans P-TIME
- Pour le moment infaisable
  - Montrer que Factorisation, Isomorphisme de graphes ne sont pas dans P-TIME
  - Plus généralement, montrer que  $P \neq NP$
  - Montrer que la multiplication de matrices est au moins en  $n^{2(1+\epsilon)}$

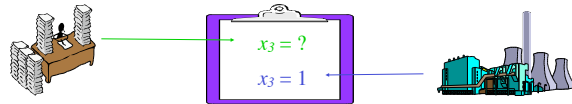
#### Difficulté illustrée sur l'algorithme de tri

- Entrée : Tableau  $X$  de  $n$  valeurs numériques (prises dans  $1, 2, \dots, m$ )
- Sortie : Tableau  $Y$  ayant les mêmes valeurs que  $X$ , mais triées
- Accès aux valeurs : algorithme en temps  $n + m$
- Accès uniquement aux comparaisons : algorithme en temps  $n \log n$

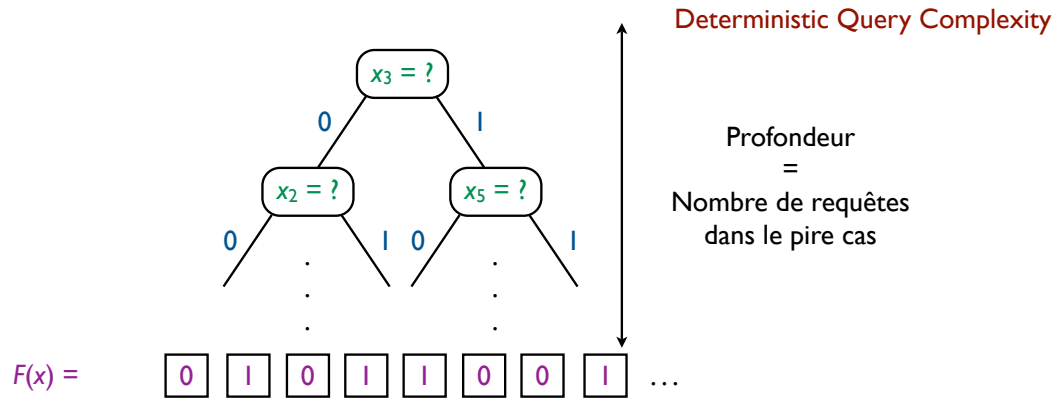
**Conclusion :** Nécessité de modéliser l'accès à l'entrée

### Définition

- Accès à l'entrée  $x$  par oracle
- Autres ressources (temps, espace, ...) infinies
- **Complexité en requêtes** d'un algo = nb d'accès à l'oracle ds le pire cas
- **Complexité en requêtes** de  $F$  = meilleur complexité en requêtes d'un algo calculant  $F$



### Cas déterministe : arbre de décision



$F(x) =$



### Fonction OR

- Entrée :  $x \in \{0, 1\}^n$
- Accès :  $i \rightarrow x_i$

### Théorème

- $DQC(OR) = n$

### Preuve par adversaire

- Fixons un arbre  $T$  qui calcule OR
- Soit  $\sigma$  le chemin de la racine vers une feuille tel que toutes les réponses sont 0
- Si  $\sigma$  est de longueur  $< n$ , il existe un bit  $x_i$  non interrogé le long de  $\sigma$
- Le même chemin, et donc la même feuille est atteinte que  $x_i=0$  ou  $x_i=1$
- Contradiction :  $OR(0^n) = 0$  et  $OR(0^{i-1} 1 0^{n-i}) = 1$

### Problème revu

- Entrée : Tableau  $X$  de  $n$  valeurs numériques
- Sortie : Tableau  $Y = \text{Tableau } X \text{ trié}$
- Requête :  $x_i < x_j$  ?

### Théorème

- $DQC(\text{Tri}) \geq n \log n$

### Preuve (exercice)

- Fixer un arbre  $T$  calculant  $Y$
- Soit  $\pi$  la permutation qui trie le tableau
- Montrer qu'un chemin code la permutation  $\pi$
- En déduire le nombre de feuilles de  $T$
- En déduire la profondeur de  $T$  et le résultat

#### Randomized Query Complexity

### Définition

- Un **arbre de décision probabiliste** calculant  $F$  est une distribution probabiliste d'arbres de décision qui calcule  $F$  avec une probabilité d'erreur  $\leq \epsilon$  ( $\epsilon = 1/8$ )

### Interprétation

- Les tirages au sort sont effectués avant le calcul, puis le calcul est déterministe

### Théorème (Min-Max)

- $RQC(F) \geq 1/2 \times \text{Max} ( DQC \text{ des arbres calculant } F \text{ avec erreur } \leq 2\epsilon \text{ selon } \pi )$   
 $\pi$  : distribution sur les entrées

### Théorème : $RQC(OR) \geq n/2$ ( $\epsilon = 1/8$ )

### Preuve par adversaire probabiliste

- Soit  $\pi$  telle que  $0^n$  est obtenu avec proba  $1/3$  sinon distribution uniforme.
- Soit  $T$  un arbre déterministe calculant  $OR$  avec erreur  $\leq 1/4$  selon  $\pi$
- Nécessairement  $T$  s'évalue à  $0$  sur  $0^n$
- Soit  $\sigma$  le chemin de la racine vers une feuille tel que toutes les réponses sont  $0$
- Si  $\sigma$  est de longueur  $< n/2$ , plus de  $n/2$  bits ne sont pas interrogés le long de  $\sigma$
- $T$  s'évalue identiquement sur  $0^n$  ainsi que sur les chaînes correspondant aux modifications des bits non interrogés. Donc erreur  $\geq 2/3 \times 1/2 = 1/3$

## Modèle de circuits

- L'accès à l'oracle  $x$  est modélisé par  $U_f$  où  $f$  est la fonction requêtes (exemple  $f(i)=x_i$ )
- **Complexité en requêtes** d'un circuit quantique = nb de portes  $U_f$  utilisées par le circuit quantique
- **QQC( $F$ )** = meilleur complexité en requêtes d'un circuit quantique calculant  $F$  avec erreur  $\leq \epsilon$

## Remarques

- Pas de notion d'arbres
- Pas de théorème Min-Max *naturel*

## Modélisation

- Soit  $U$  un circuit qui résout le problème de Grover avec erreur  $\epsilon$

$$U = U_T f_{\oplus} \dots U_2 f_{\oplus} U_1 f_{\oplus} U_0$$

- Soit  $|\psi_t^i\rangle$  l'état du circuit après la  $t$ -ème question à  $f_i$ , où

$$f_i : \{1, \dots, N\} \rightarrow \{0, 1\}, x \mapsto \begin{cases} 1, & x = i \\ 0, & x \neq i \end{cases} \quad i = 1, \dots, N$$

$$f_0 \equiv 0$$

- La réponse est soit la solution  $i$  soit "pas de solution", cas  $f_0$ . Il faut donc adapter l'algorithme de Grover en vérifiant à la fin que la solution donnée est correcte

## Mesure du progrès

$$W_t = \sum_{i=1}^N \langle \psi_t^0 | \psi_t^i \rangle$$

## Condition initiale

$$W_0 = N$$

### Condition finale

- Les états finaux  $|\psi_T^0\rangle$  et  $|\psi_T^i\rangle$  sont quasi-orthogonaux :  
 $|\langle \psi_T^0 | \psi_T^i \rangle| \leq 2\sqrt{\varepsilon(1-\varepsilon)} \implies |W_T| \leq 2N\sqrt{\varepsilon(1-\varepsilon)}$

### Majoration des sauts

Exercice : Vérifier cette majoration

- Les applications unitaires ne comptent pas :

$$\langle \psi_t^0 | \psi_t^i \rangle = \langle \psi_t^0 U | U \psi_t^i \rangle$$

- Influence des questions.

$$\begin{aligned} |\langle \psi_t^0 | \psi_t^i \rangle - \langle \psi_{t+1}^0 | \psi_{t+1}^i \rangle| &= |\langle \psi_t^0 | \psi_t^i \rangle - \langle \psi_t^0 | U_{f_i} | \psi_t^i \rangle| \\ &\leq |\langle \psi_t^0 | P_i | \psi_t^i \rangle| + |\langle \psi_t^0 | P_i U_{f_i} | \psi_t^i \rangle| \\ &\leq 2\|P_i | \psi_t^0 \rangle\| \end{aligned}$$

Exercice : Vérifier cette majoration

- Au total :

$$|W_t - W_{t+1}| \leq \sum_{i=1}^N 2\|P_i | \psi_t^0 \rangle\| \leq 2\sqrt{N} \sqrt{\sum_{i=1}^N \|P_i | \psi_t^0 \rangle\|^2} = 2\sqrt{N}$$

### Conclusion

$$T \geq \frac{1-2\sqrt{\varepsilon(1-\varepsilon)}}{2} \sqrt{N}$$

### Hypothèses

- Degré gauche de  $R \geq m$
- Degré droite de  $R \geq m'$
- Degré gauche de tout  $R_i \leq l$
- Degré droite de tout  $R_i \leq l'$

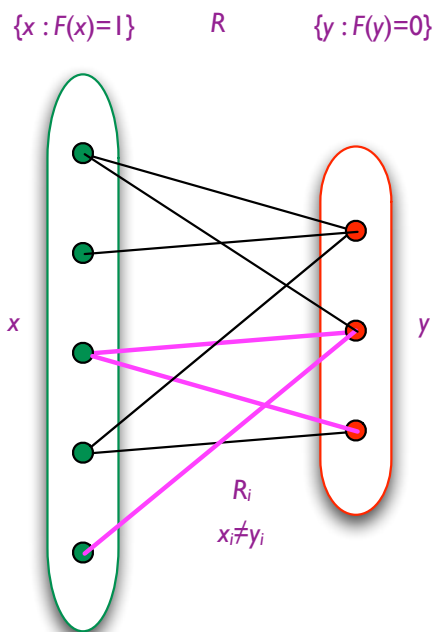
### Conséquences

- $|R| \geq m|X|, m'|Y|$
- $|R_i| \leq l|X|, l'|Y|$

### Résultats

$$QQC(F) = \Omega \left( \sqrt{\frac{mm'}{l'l'}} \right)$$

$$RQC(F) = \Omega \left( \max \left( \frac{m}{l}, \frac{m'}{l'} \right) \right)$$



## Etat du système

- étape  $t$ , entrée  $x$  :  $|\psi_t^x\rangle$

## Contraintes du modèle de calcul

- FIXONS  $(x,y)$  dans  $R$
- Au début :  $\langle \psi_0^x | \psi_0^y \rangle = 1$
- A chaque étape :  $|\langle \psi_t^x | \psi_t^y \rangle - \langle \psi_{t+1}^x | \psi_{t+1}^y \rangle| \leq 2 \sum_{i:x_i \neq y_i} \sqrt{p_t^x(i)p_t^y(i)}$
- A la fin :  $|\langle \psi_T^x | \psi_T^y \rangle| \leq 2\sqrt{\varepsilon(1-\varepsilon)}$

$$T \cdot \sum_i 2\sqrt{p_t^x(i)p_t^y(i)} \geq 1 - 2\sqrt{\varepsilon(1-\varepsilon)}$$

## Contraintes combinatoires de la fonction

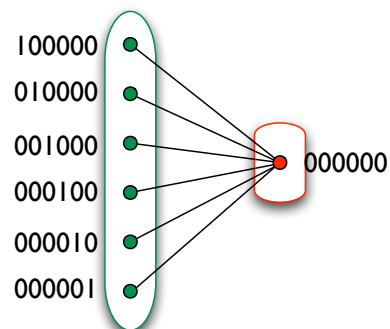
- Prise en compte de TOUTES les paires  $(x,y)$  de  $R$
- $\sum_i Progress_t(i) \leq 2\sqrt{l|X| \cdot l'|Y|}$   
 ← somme de tous les  $Progress_{t,x,y}(i)$  pour  $(x,y)$  de  $R$
- $|R| \geq m|X|, m'|Y|$  donc  $\geq \sqrt{mm'|X||Y|}$

Conclusion :  $T = \Omega\left(\sqrt{\frac{mm'}{ll'}}\right)$

## Exemples

### Fonction OR

- Complexité quantique  $\geq \sqrt{\frac{mm'}{ll'}}$   
 $= \sqrt{n}$
- Complexité classique  $\geq n$



$$m=1$$

$$l=1$$

$$m'=n$$

$$l'=1$$

### Exercice

- Complexité de la fonction XOR ?
- Complexité de la fonction Majorité ?

## Dichotomie

- Entrée :  $x \in \{0,1\}^n$  tel que  $x = 00\dots 011\dots 1$
- Sortie :  $D(x) = \min (i : x_i = 1)$  et  $n+1$  si non défini
- Accès :  $i \rightarrow x_i$

## Théorème

- $QQC(\text{Dichotomie}) = \Omega(\log n)$

## Remarque

- La méthode précédente ne donne pas mieux qu'une constante !

## Généralisation

- $QQC(\text{Tri}) = \Omega(n \log n)$

## Idée

- Il faut considérer toutes les paires mais...
- ... certaines paires sont plus difficiles à distinguer  
Les quelles ?
- Il faut donc mettre plus de poids sur ces paires

## Notation

- Poids sur la paire  $(x,y)$  :  $w_{x,y} = 1/|D(x)-D(y)|$ , si  $D(x) < D(y)$ , et 0 sinon
- Mesure du progrès :  $W_t = \sum_{x,y} w_{x,y} \langle \psi_t^x | \psi_t^y \rangle$

## Ce qui est inchangé

- Initialement :  $W_0 = \sum_{x,y} 1/|D(x)-D(y)| \approx N \log N$
- A la fin :  $|W_T| \leq 2(\epsilon(1-\epsilon))^{1/2} W_0$

## Progrès à chaque étape

- $$W_j - W_{j+1} = \sum_{x,y \in \{0,1\}^N} \omega(x,y) \langle \psi_x^j | \psi_y^j \rangle - \sum_{x,y \in \{0,1\}^N} \omega(x,y) \langle \psi_x^{j+1} | \psi_y^{j+1} \rangle$$

$$= 2 \sum_{x,y \in \{0,1\}^N} \sum_{i: x_i \neq y_i} \omega(x,y) \langle \psi_x^j | P_i | \psi_y^j \rangle.$$
- $$\left| W_j - W_{j+1} \right| \leq 2 \sum_{0 \leq a < b < N} \sum_{a \leq i < b} \frac{1}{b-a} \beta_{a,i} \beta_{b,i}$$

$$\beta_{a,i} = \|P_i | \psi_x^j \rangle\|$$

## Analyse du progrès...

$$- \left| W_j - W_{j+1} \right| \leq 2 \sum_{d=1}^{N-1} \sum_{i=0}^{d-1} \frac{1}{d} \left( \sum_{a=0}^{N-d-1} \beta_{a,a+i} \beta_{a+d,a+i} \right)$$

$$\left| W_j - W_{j+1} \right| \leq 2 \sum_{d=1}^{N-1} \sum_{i=0}^{d-1} \frac{1}{d} \gamma_i \delta_{d-i-1} \quad \gamma_i = \left( \sum_{a=0}^{N-1} \beta_{a,a+i}^2 \right)^{1/2}$$

$$\delta_i = \left( \sum_{a=0}^{N-1} \beta_{a,a-i-1}^2 \right)^{1/2}$$

$$\left| W_j - W_{j+1} \right| \leq 2\gamma K \delta \leq 2\|\gamma\|_2 \cdot \|K\|_2 \cdot \|\delta\|_2$$

## Conclusion

## - Considérations techniques

$$\|\gamma\|_2^2 + \|\delta\|_2^2 \leq \sum_{a=0}^{N-1} \sum_{i \geq 0} \beta_{a,i}^2 \leq N$$

$$\|\gamma\|_2 \|\delta\|_2 \leq \frac{1}{2} N$$

$$\|K\|_2 \leq \|L\|_2 = \pi$$

- Au final :  $T = \Omega(\log N)$ 

$$(K)_{(k,l)} = \begin{cases} \frac{1}{k+l+1} & \text{if } k+l < N-1 \\ 0 & \text{otherwise} \end{cases}$$

$$\gamma = [\gamma_0, \dots, \gamma_{N-2}] \quad \delta = [\delta_0, \dots, \delta_{N-2}]^t$$

$$L = \begin{bmatrix} 1 & \frac{1}{2} & \frac{1}{3} & \frac{1}{4} & \dots \\ \frac{1}{2} & \frac{1}{3} & \frac{1}{4} & & \\ \frac{1}{3} & \frac{1}{4} & & & \\ \frac{1}{4} & & & & \\ \vdots & & & & \end{bmatrix}$$